

УДК 517.958:536.2

TV-D-СХЕМА ДЛЯ ЧИСЛЕННОГО РЕШЕНИЯ ПЕРЕНОСА ИЗЛУЧЕНИЯ В P_1 -ПРИБЛИЖЕНИИ

А. Д. Гаджиев, Д. А. Кошутин, А. А. Шестаков
(РФЯЦ-ВНИИТФ)

Рассматривается TVD-схема для численного решения переноса излучения в P_1 -приближении. За основу взята трехточечная схема, эквивалентная монотонной схеме первого порядка в инвариантах Римана. Путем TVD-модификации основных функций строится трехточечная схема с улучшенными монотонными свойствами.

Ключевые слова: перенос теплового излучения, P_1 -приближение.

Введение

Система уравнений переноса излучения и уравнения энергии представляют собой сложную нелинейную систему, зависящую в общем случае от семи независимых переменных [1]. Поэтому ее часто решают в более простом приближении. К таковым относится P_1 -приближение. Для нестационарной задачи оно приводит к гиперболической системе уравнений относительно первых моментов в разложении интенсивности излучения по сферическим функциям.

По сравнению с параболическим уравнением при разработке численного алгоритма для гиперболического уравнения возникают значительные трудности. В работе [2] показана невозможность сочетания монотонности и второго порядка аппроксимации в рамках линейной разностной схемы для гиперболической системы уравнений, а именно такое сочетание предпочтительно для практического применения. Нередко численные алгоритмы строятся на переключении на немонотонных участках со схем второго порядка на монотонные схемы первого порядка. В работе [3], помимо переключения, используется также способ введения искусственной диссипации, который улучшает монотонность, не снижая порядка аппроксимации. В схемах с переключателями есть свои дополнительные недостатки. В частности, может ухудшиться сходимость итераций.

Одним из наиболее перспективных подходов к решению гиперболической системы является использование TVD-схем [4, 5], которые позволяют в классе нелинейных схем сочетать монотонность и второй порядок аппроксимации.

В работе [6] рассмотрен TVD-метод применительно к схеме РОМБ [7] для решения уравнений переноса в P_1 -приближении. За базовую схему первого порядка взята схема РОМБ, которая эквивалентна монотонной схеме бегущего счета в инвариантах. Далее путем реконструкции решения с применением соответствующего ограничителя строится монотонного типа схема второго порядка. Используемая в этой схеме TVD-методология вносит в схему ограничитель, который вычисляется явно по известным значениям величин с предыдущего временного шага для инвариантов. При этом значения величин с верхнего временного слоя берутся в рамках данной ячейки, что не нарушает идеологии двухточечной схемы РОМБ. Для ускорения скорости сходимости итераций используется ВДМ-метод [8]. Хотя данная нелинейная TVD-схема обладает многими полезными свойствами, она сложна при обобщении на многомерный случай.

В настоящей работе рассмотрен более простой вариант TVD-схемы. В качестве базовой взята трехточечная схема, которая эквивалентна монотонной схеме первого порядка в инвариантах Римана в плоской геометрии. В сферически-симметричной геометрии монотонную схему в инвариантах

Римана построить не удастся, поэтому за основу берутся соотношения связи схемы первого порядка в инвариантах Римана для плоской геометрии. Путем TVD-модификации основных функций U , S строится трехточечная схема с улучшенными монотонными свойствами. Улучшение монотонных свойств схемы в сферически-симметричной геометрии достигается за счет применения TVD-ограничителей производных искоемых функций. В отличие от работы [6] для ускорения скорости сходимости итераций используется не ВДМ-метод, а решатель для линейаризованных по температуре уравнений переноса в P_1 -приближении.

Постановка задачи

Рассмотрим одномерную систему переноса лучистой энергии в многогрупповом P_1 -приближении [1]:

$$\begin{aligned} \frac{1}{c} \frac{\partial U_g}{\partial t} + \frac{\partial (r^\sigma S_g)}{r^\sigma \partial r} + \alpha_{cg} U_g &= \alpha_{cg} B_g; \\ \frac{1}{c} \frac{\partial S_g}{\partial t} + \frac{1}{3} \frac{\partial U_g}{\partial r} + \alpha_g S_g &= 0; \\ \frac{\partial E}{\partial t} &= \sum_{g=1}^G \alpha_{cg} (U_g - B_g). \end{aligned}$$

Здесь t — время; r — координата; c — скорость света; g — индекс энергетической группы, $g = 1, \dots, G$;

J_g — интенсивность излучения группы g ; $U_g = \int_{-1}^1 J_g d\mu$ — плотность излучения, умноженная на

скорость света; $S_g = \int_{-1}^1 \mu J_g d\mu$ — поток излучения; ε_g — энергия; $B_g = \frac{8\pi}{c^2 \tilde{h}^3} \int_{\Delta\varepsilon_g} \frac{\varepsilon^3}{\exp \frac{\varepsilon}{T} - 1} d\varepsilon$ —

равновесная плотность излучения, умноженная на скорость света; \tilde{h} — постоянная Планка; α_{cg} — коэффициент поглощения фотонов; α_{sg} — коэффициент рассеяния фотонов; α_g — коэффициент ослабления, $\alpha_g = \alpha_{cg} + \alpha_{sg}$; E — внутренняя энергия вещества; $\sigma = 0, 1, 2$ соответствуют случаям плоской, цилиндрически-симметричной и сферически-симметричной геометрий.

Граничные условия имеют вид

$$\alpha_{0,g} U_g + \beta_{0,g} S_g = \varphi_{0,g}; \quad \alpha_{1,g} U_g + \beta_{1,g} S_g = \varphi_{1,g},$$

где $\alpha_{0,g}$, $\beta_{0,g}$, $\varphi_{0,g}$, $\alpha_{1,g}$, $\beta_{1,g}$, $\varphi_{1,g}$ — параметры для задания граничных условий.

Разностная аппроксимация

Система разностных P_1 -уравнений, выражающая интегральный закон сохранения для ячеек сетки, имеет вид (для упрощения записи здесь опущены индексы g и $i + 1/2$)

$$\begin{aligned} \frac{1}{c\tau} U^{n+1} + \frac{1}{V} \Delta_i (r^\sigma S^{n+1}) + (\alpha U)^{n+1} &= \frac{1}{c\tau} U^n + (\alpha_c B)^{n+1} + (\alpha_s U)^{n+1}; \\ \frac{1}{c\tau} S^{n+1} + \frac{1}{3h} \Delta_i U^{n+1} + (\alpha S)^{n+1} &= \frac{1}{c\tau} S^n, \end{aligned} \quad (1)$$

где $\alpha = \alpha_c + \alpha_s$; $\tau^n = t^{n+1} - t^n$; $h = h_{i+1/2} = r_{i+1} - r_i$; $V = V_{i+1/2} = \frac{r_{i+1}^{\sigma+1} - r_i^{\sigma+1}}{\sigma + 1}$; $\Delta_i (r^\sigma S) = (r^\sigma S)_{i+1} - (r^\sigma S)_{i+1/2}$; $\Delta_i U = U_{i+1} - U_i$. Здесь и в дальнейшем опускаются индексы у величины τ^n .

Заметим, что в первом уравнении системы (1) в правой части оставлен член $(\alpha_s U)^{n+1}$, который позволяет в левой части сохранить коэффициент α , необходимый для перехода в инварианты Римана.

Запишем систему (1) для плоской геометрии в инвариантах $\psi_{1,2} = \frac{1}{\sqrt{3}} U \mp S$:

$$\begin{aligned} \frac{1}{c\tau} \psi_1^{n+1} - \frac{1}{h\sqrt{3}} \Delta_i \psi_1^{n+1} + \alpha \psi_1^{n+1} &= \frac{1}{c\tau} \psi_1^n + \frac{1}{\sqrt{3}} Q^{n+1}, & Q &= \alpha_c B + \alpha_s U; \\ \frac{1}{c\tau} \psi_2^{n+1} + \frac{1}{h\sqrt{3}} \Delta_i \psi_2^{n+1} + \alpha \psi_2^{n+1} &= \frac{1}{c\tau} \psi_2^n + \frac{1}{\sqrt{3}} Q^{n+1}. \end{aligned} \quad (2)$$

Рассматривая римановы инварианты, приходящие в узел (рис. 1), для системы уравнений (2) можно построить монотонную схему первого порядка точности:

$$\psi_{2,i} = \psi_{2,i-1/2}; \quad \psi_{1,i} = \psi_{1,i+1/2}. \quad (3)$$

По формулам обратного перехода $U = \frac{\sqrt{3}}{2} (\psi_1 + \psi_2)$, $S = \frac{1}{2} (\psi_2 - \psi_1)$ получаем соотношения связи для U и S в узлах:

$$U_i = \frac{U_{i+1/2} + U_{i-1/2}}{2} + \frac{\sqrt{3}}{2} (S_{i-1/2} - S_{i+1/2}); \quad S_i = \frac{S_{i+1/2} + S_{i-1/2}}{2} + \frac{1}{2\sqrt{3}} (U_{i-1/2} - U_{i+1/2}). \quad (4)$$

Подставляя соотношения связи (4) в систему (1), получаем следующие уравнения:

$$\begin{aligned} a_i^0 U_{i-1/2} + b_i^0 U_{i+1/2} + c_i^0 U_{i+3/2} + d_i^0 S_{i-1/2} + e_i^0 S_{i+1/2} + g_i^0 S_{i+3/2} &= f_i^0; \\ a_i^1 U_{i-1/2} + b_i^1 U_{i+1/2} + c_i^1 U_{i+3/2} + d_i^1 S_{i-1/2} + e_i^1 S_{i+1/2} + g_i^1 S_{i+3/2} &= f_i^1, \end{aligned} \quad (5)$$

где $a_i^0 = -\frac{r_i^\sigma}{\sqrt{3}}$; $b_i^0 = 2V_{i+1/2} (q_1)_{i+1/2}^\nu + \frac{r_i^\sigma + r_{i+1}^\sigma}{\sqrt{3}}$; $c_i^0 = -\frac{r_{i+1}^\sigma}{\sqrt{3}}$; $d_i^0 = -r_i^\sigma$; $e_i^0 = r_{i+1}^\sigma - r_i^\sigma$; $g_i^0 = r_{i+1}^\sigma$; $a_i^1 = -1$; $b_i^1 = 0$; $c_i^1 = 1$; $d_i^1 = -\sqrt{3}$; $e_i^1 = 6hq_{i+1/2}^\nu + 2\sqrt{3}$; $g_i^1 = -\sqrt{3}$; $f_i^0 = 2V_{i+1/2} \left(\frac{1}{c\tau} U_{i+1/2}^n + \alpha_c B^{n+1} \right)$; $f_i^1 = \frac{6h}{c\tau} S_{i+1/2}^n$; $q = \frac{1}{c\tau} + \alpha$; $q_1 = \frac{1}{c\tau} + \alpha_c$; $i = 0, \dots, I-1$.

Полученная разностная система обладает монотонными свойствами, но имеет первый порядок аппроксимации. Для повышения порядка аппроксимации перейдем к нелинейным схемам типа TVD. Представим U , S на интервале $r_i \leq r \leq r_{i+1}$ в кусочно-линейной форме:

$$U(r) = U_{i+1/2} + \frac{\partial U_{i+1/2}}{\partial r} (r - r_{i+1/2}); \quad S(r) = S_{i+1/2} + \frac{\partial S_{i+1/2}}{\partial r} (r - r_{i+1/2}), \quad (6)$$

где $r_{i+1/2} = 0,5 (r_i + r_{i+1})$.

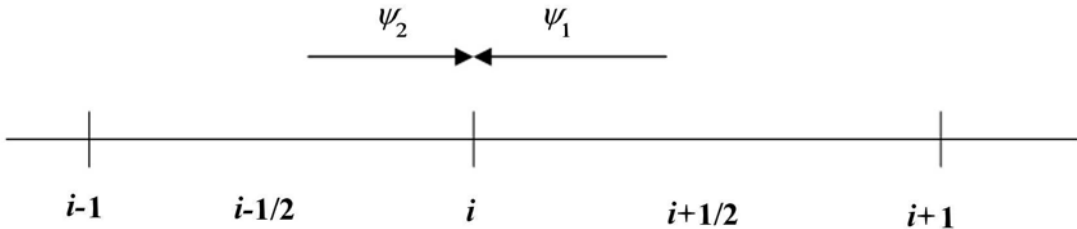


Рис. 1. Римановы инварианты, приходящие в узел

В системе (4) предполагалось кусочно-постоянное распределение U , S на сеточном интервале (рис. 2), а теперь распределение кусочно-линейное (рис. 3).

В соответствии с TVD-методологией на $\frac{\partial U_{i+1/2}}{\partial r}$, $\frac{\partial S_{i+1/2}}{\partial r}$ накладываются некоторые ограничения, так чтобы формулы (6) в гладкой зоне обеспечивали второй порядок аппроксимации, а в целом сохраняли монотонные свойства системы (5). Тогда формула (6) дает:

– справа от узла i

$$U_{i+0} = U_{i+1/2} - 0,5L \left(\Delta_{i+1/2} U \right); \quad S_{i+0} = S_{i+1/2} - 0,5L \left(\Delta_{i+1/2} S \right);$$

– слева от узла i

$$U_{i-0} = U_{i-1/2} + 0,5L \left(\Delta_{i-1/2} U \right); \quad S_{i-0} = S_{i-1/2} + 0,5L \left(\Delta_{i-1/2} S \right),$$

где $\Delta_{i-1/2}(\cdot) = (\cdot)_{i+1/2} - (\cdot)_{i-1/2}$; $L(\Delta_{i+1/2}) = L(\Delta_{i-1/2}, \Delta_{i+1/2})$ — ограничитель TVD-схемы; $U_{i+0} \neq U_{i-0}$; $S_{i+0} \neq S_{i-0}$. В граничных точках $L(\Delta_{1/2}) = \Delta_{1/2} = (\cdot)_{3/2} - (\cdot)_{1/2}$; $L(\Delta_{I-1/2}) = \Delta_{I-1/2} = (\cdot)_{I-1/2} - (\cdot)_{I-3/2}$.

Например, для ограничителя Чакравати—Ошера имеем

$$L(a, b) = 0,5(1 - \delta) \min \text{mod}(a, \beta b) + 0,5(1 + \delta) \min \text{mod}(\beta a, b),$$

где β — параметр сжатия, который удовлетворяет условию $1 \leq \beta \leq \frac{3 - \delta}{1 - \delta}$. Параметр δ определяет тип схемы и порядок аппроксимации. При $\delta = 1$ получаем схему второго порядка аппроксимации.

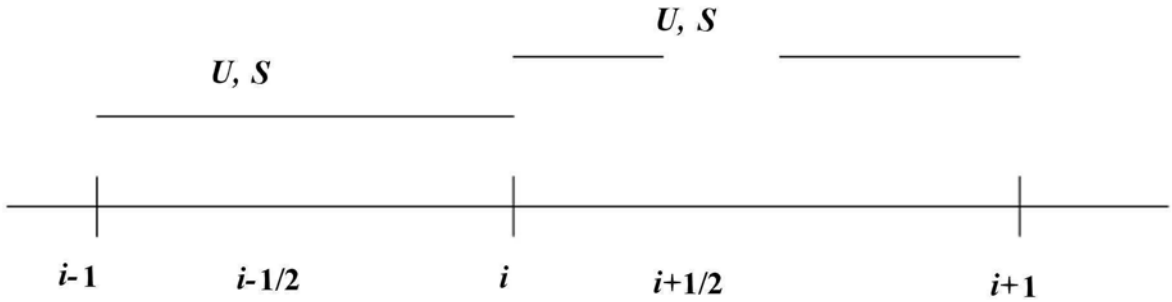


Рис. 2. Распределение U , S в схеме (4)

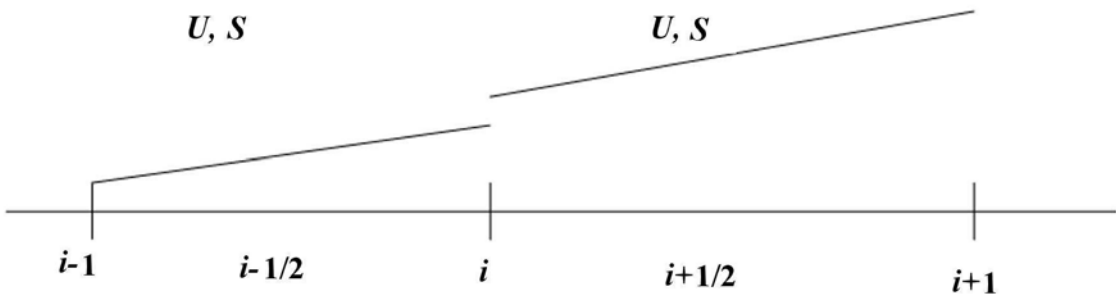


Рис. 3. Распределение U , S в схеме (6)

При $\delta = 1/3$; $\beta = 3$ для явной схемы можно получить третий порядок аппроксимации. Для неявной схемы точность также улучшается при этих параметрах.

Для ограничителя $\min \text{mod}$ имеем $\delta = 0$; $\beta = 1$.

Рассмотрим в узле i соотношения связи, подобные соотношениям связи (3):

$$\psi_{2,i} = \psi_{2,i-1/2}; \quad \psi_{1,i} = \psi_{1,i+1/2}.$$

По формулам обратного перехода $U = \frac{\sqrt{3}}{2}(\psi_1 + \psi_2)$, $S = \frac{1}{2}(\psi_2 - \psi_1)$ получаем соотношения связи для U и S в узлах:

$$\begin{aligned} U_i &= \frac{U_{i+1/2} + U_{i-1/2}}{2} - \frac{\sqrt{3}}{2} (S_{i+1/2} - S_{i-1/2}) + \Delta_1(US_i); \\ S_i &= \frac{S_{i+1/2} + S_{i-1/2}}{2} - \frac{1}{2\sqrt{3}} (U_{i+1/2} - U_{i-1/2}) + \Delta_2(US_i), \end{aligned} \quad (7)$$

где $\Delta_1(US_i) = -\frac{1}{4}(L(\Delta_{i+1/2}U) - L(\Delta_{i-1/2}U)) + \frac{\sqrt{3}}{4}(L(\Delta_{i+1/2}S) + L(\Delta_{i-1/2}S))$;

$$\Delta_2(US_i) = \frac{1}{4\sqrt{3}}(L(\Delta_{i+1/2}U) + L(\Delta_{i-1/2}U)) + \frac{1}{4}(L(\Delta_{i-1/2}S) - L(\Delta_{i+1/2}S)).$$

Подставляя соотношения связи (7) в систему (1), получаем уравнения (5) с другими правыми частями

$$\begin{aligned} f_i^0 &= 2 \left[V_{i+1/2} \left(\frac{1}{c\tau} U^n + \alpha_c B^{n+1} \right)_{i+1/2} - r_{i+1}^\sigma \Delta_2(US_{i+1}) + r_i^\sigma \Delta_2(US_i) \right]; \\ f_i^1 &= 2 \left[\frac{3h}{c\tau} S_{i+1/2}^n - \Delta_1(US_{i+1}) + \Delta_1(US_i) \right]. \end{aligned} \quad (8)$$

Полученная система уравнений представляет собой систему с четырехточечным шаблоном на $(n+1)$ -м слое. Если добавки $\Delta_1(US_i)$, $\Delta_2(US_i)$ брать с предыдущей итерации или предыдущего шага, то можно записать схему на $(n+1)$ -м слое на трехточечном шаблоне. При $\Delta_1(US_i) = \Delta_2(US_i) = 0$ получим линейную схему первого порядка точности.

Совместно с уравнениями переноса излучения решается уравнение энергии. Нелинейная система уравнения энергии с уравнениями переноса излучения (1) решается итерационно. На итерационном цикле пересчитываются коэффициенты поглощения с организацией ньютоновской линеаризации внутренней энергии и функции Планка по температуре.

Нелинейная система уравнения энергии с уравнениями переноса излучения (1) на итерационном цикле имеет вид

$$\begin{aligned} \frac{1}{c\tau} U^{\nu+1} + \frac{1}{V} \Delta_i(r^\sigma S^{\nu+1}) + \alpha_n^\nu U^{\nu+1} &= \frac{1}{c\tau} U^n + \alpha_c^\nu B^{\nu+1}; \\ \frac{1}{c\tau} S^{\nu+1} + \frac{1}{3h} \Delta_i U^{\nu+1} + \alpha^\nu S^{\nu+1} &= \frac{1}{c\tau} S^n; \\ \frac{E^{\nu+1} - E^n}{\tau} &= \sum_{g=1}^G \alpha_{cg}^\nu (U_g^{\nu+1} - B_g^{\nu+1}). \end{aligned} \quad (9)$$

Линеаризуем по температуре внутреннюю энергию и функцию Планка:

$$E^{\nu+1}(T) = E^\nu(T) + E_T^\nu(T^{\nu+1} - T^\nu); \quad B_g^{\nu+1}(T) = B_g^\nu(T) + B_{gT}^\nu(T^{\nu+1} - T^\nu),$$

где $E_T^\nu = \left(\frac{\partial E}{\partial T}\right)^\nu$; $B_{gT}^\nu = \left(\frac{\partial B_g}{\partial T}\right)^\nu$. Тогда из уравнения энергии получаем выражение для нахождения температуры

$$T_{i+1/2}^{\nu+1} = T_{i+1/2}^\nu + \left[\frac{E^n - E^\nu + \tau \sum_{g=1}^G \alpha_{c,g}^\nu (U_g^{\nu+1} - B_g^\nu)}{E_T^\nu + \tau \sum_{g=1}^G \alpha_{c,g}^\nu B_{g,T}^\nu} \right]_{i+1/2}. \quad (10)$$

Линеаризуя функцию Планка в системе (9) по температуре и подставляя формулу (10), получаем в первом уравнении системы (8)

$$f_i^0 = f_{i+1/2}^{01} + f_{i+1/2}^{02},$$

где

$$\begin{aligned} f_{i+1/2}^{01} &= 2V \left\{ \frac{1}{c\tau} U_g^n + \alpha_{cg} [B_g^\nu + \lambda B_{gT}^\nu (E^n - E^\nu)] - \tau \lambda \alpha_{cg} B_{gT}^\nu \sum_{g'=1}^G \alpha_{cg'} B_{g'}^\nu \right\}_{i+1/2} + \\ &+ 2 \left(r_i^\sigma \Delta_2 (US_i) - r_{i+1}^\sigma \Delta_2 (US_{i+1}) \right), \quad \lambda_{i+1/2} = \left(E_T^\nu + \tau \sum_{g'=1}^G \alpha_{cg'} B_{g'T}^\nu \right)_{i+1/2}^{-1}; \\ f_{i+1/2}^{02} &= \left(2V\tau \lambda \alpha_{cg} B_{gT}^k \sum_{g'=1}^G \alpha_{cg'} U_{g'}^{\nu+1} \right)_{i+1/2}. \end{aligned}$$

Если выражение $f_{i+1/2}^{02}$ перенести в левую часть первого уравнения системы (5), объединяя члены при $g' = g$ с коэффициентом b_i^0 , то оно примет вид

$$\begin{aligned} &(a_i^0 U_{i-1/2} + \bar{b}_i^0 U_{i+1/2} + c_i^0 U_{i+3/2} + d_i^0 S_{i-1/2} + e_i^0 S_{i+1/2} + g_i^0 S_{i+3/2})_{g}^{\nu+1} - \\ &- 2\tau \left[V \lambda \alpha_{cg} B_{gT}^\nu \sum_{g'=1}^G (\alpha_{cg'} - \alpha_{cg}) U_{g'}^{\nu+1} \right]_{i+1/2} = (f_i^{01})_g^\nu, \end{aligned} \quad (11)$$

где $\bar{b}_i^0 = b_i^0 - 2\tau \left(V \lambda B_{gT}^\nu \alpha_{cg}^2 \right)_{i+1/2}$, $i = 0, \dots, I-1$, $g = 1, \dots, G$.

Для решения системы (5) с заменой первого уравнения на (11) используется решатель из библиотеки SPARSKIT [9]. Итерации заканчиваются при выполнении условий $|T_{i+1/2}^{\nu+1} - T_{i+1/2}^\nu| \leq \varepsilon^\nu (\varepsilon_1 + T_{i+1/2}^\nu)$. Точность вычисления температуры определяется константами сходимости ε^ν , ε_1 . При сходимости итераций получаем на шаге плотности $U^{n+1} = U^{\nu+1}$, потоки $S^{n+1} = S^{\nu+1}$, температуры $T^{n+1} = T^{\nu+1}$ и переходим на следующий шаг по времени.

Численные расчеты

Обработка новой схемы проводилась на двух задачах Флека [10], обобщенных на сферически-симметричную геометрию. На внутреннюю поверхность сферического слоя толщиной 4 см падает планковский поток излучения, соответствующий температуре вещества $T = 1$. Слой состоит из трех физических областей. Радиус внутренней сферы 100 см, внешней — 104 см.

Спектральные граничные условия на внешней границе имели вид $\frac{1}{4}U_g - \frac{1}{2}S_g = 0$; на внутренней границе $\frac{1}{4}U_g + \frac{1}{2}S_g = \frac{1}{4}B_g (T = 1)$. Коэффициент поглощения вычислялся по формуле $\alpha_c = \frac{\chi (1 - e^{-\varepsilon/T})}{\varepsilon^3}$; $\chi = 27$ в области 1 ($100 < r < 102$) и области 3 ($102,4 < r < 104$); в области 2

($102 < r < 102,4$) $\chi = 27$ для первой задачи Флека, $\chi = 10\,000$ для второй задачи Флека. Коэффициент рассеяния $\alpha_s = 0$. Начальная температура в областях $T = 0,00001$, уравнение состояния вещества $E = 0,81T$.

По энергетической переменной расчеты выполнены на сетке с разбиением 0; 0,3; 0,6; 0,8; 1,2; 1,5; 1,8; 2,4; 2,7; 3; 4; 5; 7; 9; 11; 15 (число групп 15). Пространственная сетка — равномерная в каждой области по радиусу: 28, 16, 24 интервалов в областях 1, 2, 3 соответственно. Шаг по времени $\tau = 0,0002$. Итерационный пересчет решения на каждом временном шаге проводился до вычисления температуры вещества с точностью 0,01% ($\varepsilon^\nu = 10^{-4}$; $\varepsilon_1 = 1$).

На рис. 4 приведены профили температуры в первой задаче Флека на 10, 25 и 600-м шагах по времени. Нужно заметить, что в этой задаче TVD-схема с ограничителями min mod и Чакравати—Ошера дает одинаковые результаты.

Число внешних итераций в данной задаче практически не меняется на шагах. Поэтому для исследований итерационного метода достаточно рассмотреть первые 20 шагов.

В табл. 1 приведено среднее число внешних итераций за 20 первых временных шагов. Видно, что в первой задаче Флека все схемы дают одинаковую скорость сходимости итераций, т. е. итерационный

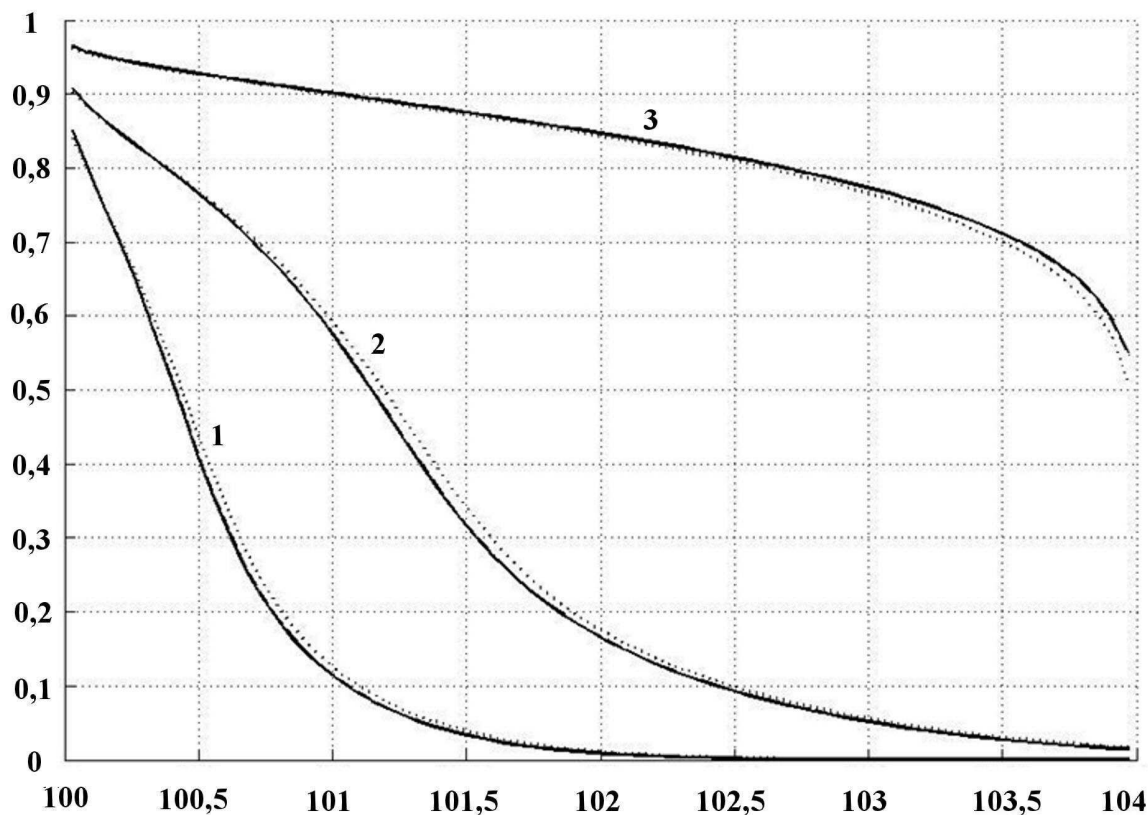


Рис. 4. Профили температуры вещества в первой задаче Флека: 1 — на 10-м шаге; 2 — на 25-м шаге; 3 — на 600-м шаге; \cdots — схема без ограничителей; — — TVD-схема с ограничителем Чакравати—Ошера

Таблица 1

Среднее число внешних итераций за 20 первых временных шагов в первой задаче Флека

Тип ограничителя	$\tau = 0,0001$	$\tau = 0,0005$
Без ограничителя	3,1	3,5
min mod	3,1	3,5
Чакравати—Ошера	3,1	3,5

метод практически не зависит от разностной схемы. При увеличении шага по времени в 5 раз число итераций возрастает в 1,13 раза. Это свидетельствует о слабой зависимости итерационного метода от шага.

На рис. 5 приведены профили температуры вещества для второй задачи Флека, полученные на 10, 25 и 600-м шагах по времени. Видно, что схема без ограничителей, в отличие от TVD-схем, сильнее размывает фронт тепловой волны.

В табл. 2 приведено среднее число внешних итераций за 20 первых временных шагов для второй задачи Флека. Видно, что, хотя в данной задаче все схемы дают близкую скорость сходимости итераций, TVD-схема с ограничителем Чакравати—Ошера сходится быстрее остальных схем. При увеличении шага по времени в 5 раз число итераций возрастает в 1,3 раза. Это свидетельствует о слабой зависимости итерационного метода от шага, а небольшое число итераций (меньше 5 во всех вариантах) — о хорошей скорости сходимости метода.

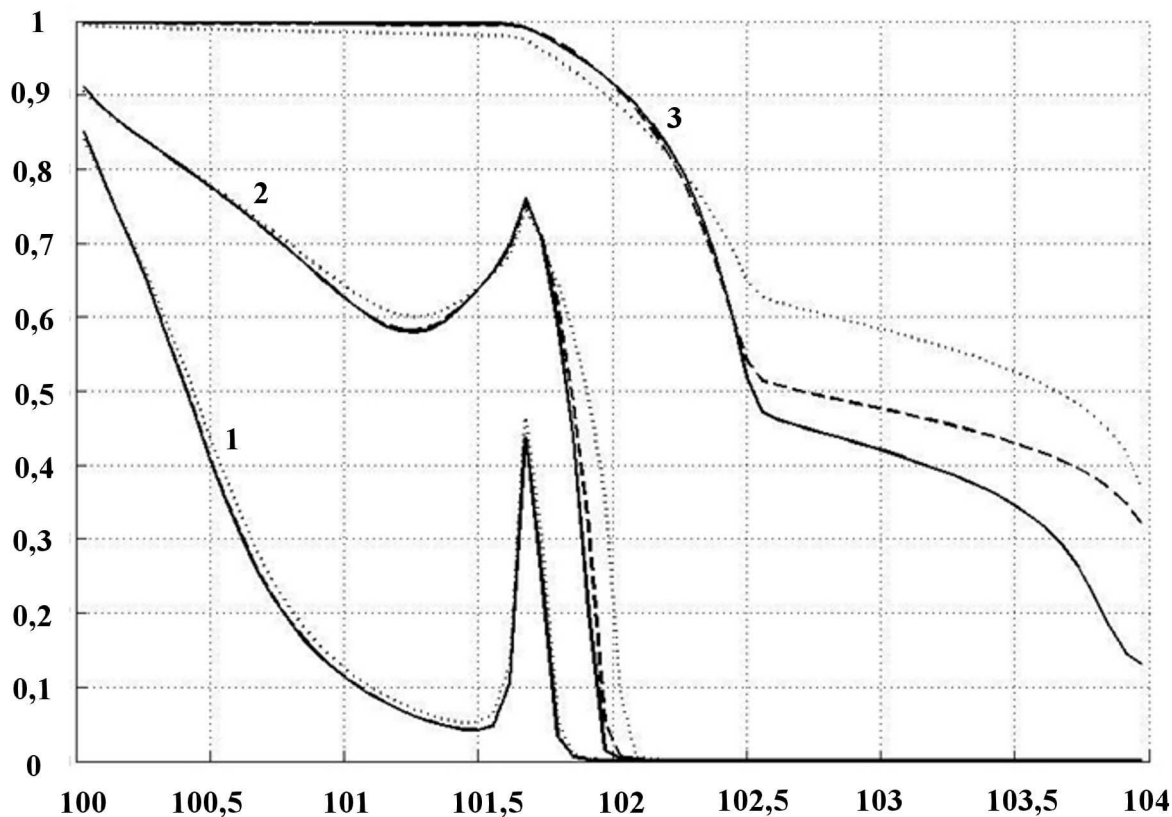


Рис. 5. Профили температуры вещества во второй задаче Флека: 1 — на 10-м шаге; 2 — на 25-м шаге; 3 — на 600-м шаге; \dots — схема без ограничителей; $-\cdot-\cdot-$ — TVD-схема с ограничителем $\min \text{mod}$, $—$ — TVD-схема с ограничителем Чакравати—Ошера

Таблица 2

Среднее число внешних итераций за 20 первых временных шагов во второй задаче Флека

Тип ограничителя	$\tau = 0,0001$	$\tau = 0,0005$
Без ограничителя	3,6	4,7
$\min \text{mod}$	3,4	4,2
Чакравати—Ошера	3,4	4

В заключение еще раз отметим основные достоинства предложенной методики.

В данной работе в отличие от [6] используется другая схема решения уравнений переноса в P_1 -приближении: TVD-модификация применяется к основным функциям U , S и добавка от TVD-реконструкции взята с предыдущего шага. Это заметно упрощает схему.

Для совместного решения уравнений переноса излучения в P_1 -приближении и уравнения энергии используется не ВДМ-метод, а решатель для линеаризованных по температуре уравнений переноса.

Список литературы

1. Зельдович Я. Б., Райзер Ю. П. Физика ударных волн и высокотемпературных гидродинамических явлений М.: Наука, 1966.
2. Годунов С. К. Разностный метод численного расчета разрывных решений уравнений гидродинамики // Мат. сборник 1959. № 47. Вып. 3. С. 271—306.
3. Гаджиев А. Д., Шестаков А. А. Метод РОМБ для решения многогруппового уравнения переноса излучения в P_1 -приближении // Вопросы атомной науки и техники. Сер. Математическое моделирование физических процессов. 1989. Вып. 3. С. 66—70.
4. Harten A. On a class of high resolution total variation stable finite difference schemes // SIAM J. Numer. Anal. 1984. Vol. 21(1). P. 1—23.
5. Куликовский А. Г., Погорелов Н. В., Семенов А. Ю. Математические вопросы численного решения гиперболических систем уравнений. М.: Физматлит, 2001.
6. Вершинская А. С., Гаджиев А. Д., Грабовенская С. А., Шестаков А. А. Применение TVD-реконструкции для построения монотонной и второго порядка схемы РОМБ решения уравнения переноса теплового излучения в P_1 -приближении // Вопросы атомной науки и техники. Сер. Математическое моделирование физических процессов. 2009. Вып. 2. С. 21—36.
7. Гаджиев А. Д., Писарев В. Н. Неявный конечно-разностный метод РОМБ для численного решения уравнений газовой динамики с теплопроводностью // Журнал вычисл. мат. и мат. физ. 1976. Т. 19, № 5. С. 1288—1303.
8. Гаджиев А. Д., Шестаков А. А. Метод выделения диагональной матрицы для численного решения уравнения переноса излучения в P_1 -приближении по схеме РОМБ // Вопросы атомной науки и техники. Сер. Математическое моделирование физических процессов. 2006. Вып. 1. С. 3—13.
9. Saad Y. SPARSKIT: A basic tool kit for sparse matrix computation. Technical report 90—20, Research Institute for Advanced Science, NASA Ames Research Center, Moffet Field, CA, 1990.
10. Fleck J. A. Cummings J. D. An implicit Monte Carlo scheme for calculating time and frequency dependent nonlinear transport // J. Comput. Phys. 1971. Vol. 8. P. 313—342.

Статья поступила в редакцию 30.07.12.